

## مطالعه تاثیر بایو[6-bromoindirubin-3'-oxim] (BIO) بر تکثیر و تمایز به استخوان سلول‌های بنیادی مزانشیمی مشتق از مغز استخوان موش صحرایی

دکتر محمدرضا باغبان اسلامی نژاد\*، فریماه سلامی\*\*، دکتر ملک سلیمانی مهرنجانی\*\*، دکتر محمدحسین آبنوسی\*\*\*

دربافت: ۸۷/۹/۲۱ ، پذیرش: ۸۸/۹/۲۹

### چکیده:

مقدمه و هدف: بر اساس شواهد موجود، یکی از مسیرهای مولکولی دخیل در تکثیر و تمایز به استخوان سلول‌ها مسیر سیگنال Wnt دهی است. از طرف دیگر مطالعات نشان داده است که (BIO) 6-bromoindirubin-3'-oxim قادر است این مسیر را فعال نماید. در مطالعه حاضر تاثیر BIO بر تکثیر و تمایز به استخوان سلول‌های بنیادی مزانشیمی بررسی شده است.

روش کار: در مطالعه تجربی حاضر، از سلول‌های بنیادی مزانشیمی مغز استخوان موش صحرایی استفاده شد. ابتدا برخی غلظت‌های BIO از لحاظ تاثیر بر توان زیستی سلول‌ها ارزیابی گردید. سپس غلظت‌هایی از BIO شامل ۰/۰۱، ۰/۱، ۰/۱/۵، ۰/۱/۵ میکرومولار که تاثیرات منفی بر توان زیستی سلول‌ها نداشتند، انتخاب شدند و به عنوان مکمل به محیط کشت تکثیر و تمایز به استخوان سلول‌های بنیادی مزانشیمی اضافه شدند. برای بررسی اثر BIO بر تکثیر سلول‌ها، تعداد دوبرابر شدن جمعیت سلولی محاسبه شد. برای مطالعه اثر BIO بر تمایز به استخوان، میزان بیان نسبی ژن‌های ویژه استخوانی و میزان معدنی شدن کشت تمایز تعیین گردید. در تمامی این بررسیها، کشت بدون BIO به عنوان کنترل در نظر گرفته شد و برای ارزیابی داده از آزمون آماری ANOVA استفاده گردید.

نتایج: نتایج تعیین دوبرابر شدگی جمعیت سلولی نشان داد که میزان این ساختار رشد در گروه ۰/۱ و ۰/۱/۵ میکرومولار بطور معنی داری بیش از گروه‌های دیگر است ( $P<0.05$ ). بررسی میزان تمایز نشان دهنده تاثیرات منفی BIO بر تمایز به استخوان سلول‌های بنیادی مزانشیمی بود. بطوریکه سلول‌ها در تمام غلظت‌های مورد استفاده نسبت به گروه کنترل، ژن‌های استوکلین و آلتالین فسفاتاز را به میزان کمی بیان کردند و میزان معدنی شدن کشت آنها بطور معنی داری کمتر از گروه کنترل بود.

نتیجه نهایی: روی هم رفته به نظر می‌رسد BIO تکثیر سلول‌های بنیادی مزانشیمی را تحریک می‌نماید. در حالیکه تاثیرات مهاری بر تمایز به استخوان این سلول‌ها دارد.

**کلید واژه‌ها:** تمایز به استخوان / چربی / سلول‌های بنیادی مزانشیمی / مسیر سیگنال دهی Wnt

۴ ساعت یا بیشتر سلول‌های غیر چسبنده رده خونساز را دور ریخت. او گزارش کرد که بخشی از سلول‌های چسبنده مغز استخوان که اتصالات محکمی با سطح دیش کشت برقرار کرده، دوکی شکل بوده و تجمعات دو تا چهار سلولی ایجاد می‌کند. بر اساس مشاهدات این محقق، تجمعات فوق به مدت ۲-۴ روز خاموش باقی ماندند و پس از آن به سرعت تکثیر یافتدند. این سلول‌ها پس از چندین بار پاساز به صورت یکدست دوکی ظاهر شدند(۲).

### مقدمه :

سلول بنیادی مزانشیمی طبق تعریف به سلولی گفته می‌شود که بتواند برای مدت نسبتاً طولانی تقسیمات خودتجددی داشته باشد و با فراهم شدن شرایط لازم به رده‌های اسکلتی تمایز شود(۱). اولین شواهد قطعی مبنی بر وجود سلول بنیادی مزانشیمی توسط فریدن‌شتین در اواسط سال ۱۹۷۰ ارائه شد. این محقق نمونه‌های مغز استخوان را در یک ظرف پلاستیکی کشت داد و پس از

\* دانشیار گروه سلول‌های بنیادی مرکز تحقیقات علوم سلولی جهاد دانشگاهی(Eslami@royaninstitute.org)

\*\* کارشناس ارشد گروه زیست شناسی دانشکده علوم دانشگاه اراک

\*\*\* استادیار گروه زیست شناسی دانشکده علوم دانشگاه اراک

سیتوپلاسم تجمع یافته، در نهایت وارد هسته می شود و در آنجا با اتصال به فاکتورهای نسخه برداری ویژه (TCF/LEF)، زنهای هدف وابسته به Wnt را فعال می کند. در صورت فعال نشدن این مسیر،  $\beta$ -catenin فسفریله شده، سریعاً توسط یوبی کوئیتین-پروتئازوم تخریب می شود (۱۱-۱۳).

تحقیقات نشان داده است که ماده ای موسوم به 6'-Bromoindirubin-3'-Oxime(BIO) که یکی از مشتقات Trypan ایندیروبین است و از یک نرم تن دریابی به نام purple به دست می آید، می تواند بر مسیر سیگنال دهی Wnt تاثیر گذار باشد. (۱۴). این ماده در فورفتگی اتصال GSK3- $\beta$  ATP به مولکول GSK3- $\beta$  قرار گرفته و با مهار موثر در فعال کردن مسیر سیگنال دهی کانونیکال Wnt است (۱۵). تابه حال تاثیرات BIO در بهبود رشد سلولهای نظیر سلولهای عصبی هیپوکامپ (۱۶)، سلول های لوله پروکسیمال کلیه (۱۷) و سلولهای بنیادی جنبی انسان و موش بررسی شده است (۱۸). همچنین زاراگوسی و همکاران در سال ۲۰۰۸ با افزودن BIO به غلظت ۰/۵ میکرومولار در محیط کشت سلول های بنیادی مشتق از چربی انسان به این نتیجه رسیدند که BIO تکثیر و تمایز به استخوان سلول های بنیادی چربی را مهار می کند (۱۹).

در ارتباط با تاثیر BIO بر رشد و تمایز به استخوان سلول های بنیادی مزانشیمی مشتق از مغز استخوان گزارشی در دست نیست. لذا مطالعه حاضر به این موضوع پرداخته است. هدف این مطالعه، تعیین تأثیر BIO بر تکثیر و تمایز به استخوان سلول های بنیادی مزانشیمی مشتق از مغز استخوان موش صحرایی در محیط کشت است. فرضیه ما این است که BIO با تاثیر بر مسیر سیگنال دهی Wnt، میزان تکثیر و تمایز به استخوان سلول های بنیادی مزانشیمی مشتق از مغز استخوان موش صحرایی را در محیط کشت، تحت تأثیر قرار می دهد.

### روش کار:

جداسازی و کشت سلولهای مغز استخوان: در این مطالعه تجربی از ۷ سر موش صحرایی نر نژاد Wistar با سن تقریبی ۲ ماهه استفاده شد. پیش از آغاز مطالعه، مجوز لازم جهت استفاده از این تعداد حیوان آزمایشگاهی از کمیته اخلاق پژوهشکده رویان اخذ شد. موش ها با روش در رفته کردن مهره های گردنی قربانی شدند. بافت‌های نرم اطراف استخوان های درشت نی و ران با

تحقیقات بعدی مشاهدات اولیه فریدنشتین و همکاران را تایید کرد (۳،۴).

براساس مطالعات پیشین، سلولهای بنیادی مزانشیمی در نمونه های مغز استخوان به تعداد بسیار محدودی وجود دارند. تعداد این سلول ها در حدود ۱۰-۱۵ سلول به ازای هر  $10^6$  سلول هسته دار مغز استخوان تخمین زده می شود. لذا تکثیر آزمایشگاهی این سلولها قبل از هر گونه کار تجربی یا بالینی اجتناب ناپذیر است (۱). از طرفی پتانسیل تمایز به استخوان از توانایی های مشخصه سلولهای بنیادی مزانشیمی بوده و با معرفی آن امید های زیادی برای درمان ضایعات بافت استخوان بوجود آمده است. تحقیقات پیشین ما کارایی این سلول ها را در باز سازی ضایعات وسیع استخوان به خوبی نشان داده است (۵،۶).

به منظور بهبود پروتکل های تمایز و تکثیر سلول بنیادی مزانشیمی، محققین علاقمند هستند که مسیرهای مولکولی در گیر در این فرآیندهای سلولی را بیشتر بررسی نمایند. یکی از مسیرهای سیگنال دهی که با تکثیر سلول و تمایز به استخوان در ارتباط است، مسیر Wnt است. شواهد مربوط به ارتباط مسیر Wnt با تمایز به استخوان را به خوبی می توان در جهش های مربوط به ژن LRP5 (Low density lipoprotein-related protein) در انسان و موش مشاهده کرد. این مولکول در مسیر سیگنال دهی Wnt به عنوان کورسپتور گلیکوپروتئین Wnt ایفای نقش می کند. جهش های فقدان عملکرد و کسب عملکرد در LRP5 انسانی به ترتیب باعث Osteoporosis (کاهش دانسیته استخوان) و Osteopetrosis (افزايش توده استخوان) می شود. در موش هایی که مولکول LRP5 آنها معیوب است تعداد اسکوبلاستها کاهش می یابد (۷-۱۰). در ارتباط با دخالت مسیر Wnt در تکثیر و تمایز به استخوان سلول های بنیادی مزانشیمی اطلاعات بسیار اندک است.

مسیر سیگنال دهی کانونیکال Wnt یک مکانیزم حفظ شده در تمام جانوران پر سلولی است. (۱۱). در این مسیر گلیکوپروتئینهای ترشحی Wnt بر روی رسپتور frizzled و کورسپتور LRP5/6 نشسته و سبب فسفوریلاسیون (فعال شدن) پروتئین Disheveled می شوند. Disheveled Glycogen Synthase Kinase-3  $\beta$  (GSK3- $\beta$ ) می شود که نتیجه آن فسفوریله نشدن  $\beta$ -catenin و جدا شدن آن از APC است.  $\beta$ -catenin در

پس از ۱/۵ ساعت انکوباسیون در  $37^{\circ}\text{C}$  و ۵٪  $\text{CO}_2$  کریستالهای فورمازان تشکیل شد. پس از حل کردن کریستالها در ۳۰۰ میکرولیتر (DMSO) (Germany/Sigma) میزان جذب طول موج (540-630) نانومتر توسط دستگاه ELISA-reader میزانهای گیری شد.

تأثیر BIO بر تکثیر سلول‌های بنیادی مزانشیمی: برای این منظور سلول‌های بنیادی مزانشیمی از پاساژ سوم، به تعداد  $10^5$  سلول در فلاسک‌های ۲۵ سانتیمتر مربعی و در محیط DMEM حاوی ۱۰٪ سرم گاوی و آنتی بیوتیک کشت شد. ۲۴ ساعت پس از آغاز کشت محیط سلول‌ها با محیط حاوی غلظتهای  $1/5$ ،  $1/10$ ،  $1/20$ ،  $1/40$  میکرومولار BIO (این غلظت‌ها براساس نتایج MTT انتخاب شد) تعویض شد. کشت با محیط DMEM بدون BIO به عنوان کنترل در نظر گرفته شد. کشت سلول به مدت ۵ روز ادامه یافت و در پایان این مدت سلول‌ها تریپسینه شدند و مورد شمارش قرار گرفتند و با استفاده از فرمول  $\text{PDN} = (\text{LogN}/\text{N}_0) \times 3.31$  میزان دوبرابر شدن جمعیت سلولی برای غلظت‌های مختلف BIO و گروه کنترل محاسبه گردید در این فرمول N تعداد سلول‌ها در پایان دوره و  $N_0$  تعداد سلول‌ها در آغاز کشت است.

کشت تمایز به استخوان: سلولهای پاساژ ۳ در ظروف ۶ چاهکی کشت داده شده بودند و پس از آنکه به تراکم تقریباً ۸٪ رسیدند، محیط برخی چاهک‌ها با محیط تمایز به استخوان قادر BIO (گروه کنترل) و برخی دیگر با محیط تمایز به استخوان حاوی غلظت‌های  $1/10$ ،  $1/20$ ،  $1/40$  میکرومولار BIO تعویض شد. محیط تمایز شامل محیط DMEM حاوی ۱۰٪ سرم گاوی، ۱۰ میلی مولار بتاگلیسرول فسفات،  $10^{-8}$  مولار دگراماتازون،  $50\text{ }\mu\text{g/ml}$  میکروگرم در میلی لیتر اسکوربیک-۳-فسفات بود. محیط کشت هر ۳ روز یکبار به مدت سه هفته تعویض شد. در پایان دوره تمایز، گروههای مختلف از لحاظ بیان استئوکلسین

و آلکالین فسفاتاز و معدنی شدن کشت مقایسه شدند. RT-PCR نیمه کمی برای اندازه گیری بیان نسبی ژنهای استخوانی: پس از لیز نمودن سلول‌ها به کمک محلول RNAx (CinaGen Inc., Tehran, Iran) و استخراج RNAx سلولی، با استفاده از RevertAid TM H Minus First RNA Synthesis Kit (Fermentas) PCR حاصل در حجم بالا ساخته شده و سپس PCR dNTPs (Fermentas) در حجم ۲۵ میکرولیتر با

اسکالپل وقیچی جدا شد، آنگاه استخوان‌ها در Dulbecco's Modified Eagle Medium، DMEM (Gibco, Germany) Fetal Bovin Serum (Gibco, Germany) در فالکون ۱۵ قرار گرفتند و باقی مراحل استخراج در زیر هود استریل انجام شد. ابتدا دو سر استخوان بریده شد و با استفاده از یک سرنگ، محیط DMEM حاوی ۱۵٪ سرم به داخل کanal استخوانی هدایت شد تا محتویات معز استخوان آن شسته شود (عمل flushing). معز استخوان در داخل لوله‌های استریل جمع آوری شد و تحت ۱۲۰۰ به مدت ۵ دقیقه سانتریفیوژ گردید. آنگاه محیط رویی تخليه و پلت سلولی با ۱۰ میلی لیتر محیط DMEM واجد ۱۵٪ سرم FBS و ۱۰۰ واحد بین‌المللی آنتی بیوتیک پنی‌سلین و ۱۰۰ واحد بین‌المللی استرپتومایسین (Gibco; Germany) تازه معلق گردید و پس از شمارش با تراکم  $10^5$  سلول در سانتیمتر مربع در فلاسکهای ۲۵ سانتیمتر مربعی کشت شد. کشت اولیه سلول تا زمان پر شدن کف فلاسک ادامه یافت، در این زمان سلول‌ها تریپسینه شدند و با انجام چند پاساژ تکثیر گردیدند.

کشت سلول در غلظت‌های مختلف BIO و بررسی توان زیستی سلول‌های حاصل: در مطالعات پیشین نشان داده شده است برخی غلظت‌های Bio، در کشت سلولهای پوششی کلیه و سلول‌های بنیادی جنینی، غلظت‌های غیر توکسیک هستند (۱۷، ۱۸). برای تعیین اینکه این غلظت‌ها در کشت سلول‌های بنیادی مزانشیمی نیز همان تاثیرات غیر سمی را دارد یا نه، از تست MTT استفاده شد. بدین ترتیب که، سلول‌های پاساژ ۳ به تعداد  $10^5$  سلول در هر خانه پلیت ۲۴ خانه‌ای و در حضور چندین غلظت BIO شامل  $1/5$ ،  $1/10$ ،  $1/20$ ،  $1/40$  و ۱۰۰٪ میکرومولار کشت شد و بعد از ۷ روز، توان زیستی سلول‌ها با روش MTT ارزیابی گردید. روش MTT بر اساس فعالیت متابولیکی سلول استوار است. در این روش تترازولیوم زرد dimethylthiazolyl)-2,5-diphenyltetrazolium (MTT) ۳- $\text{bromide}$  (۳- تترازولیوم ردوکتاز متعلق به زنجیره تنفسی میتوکندریایی که تنها در سلولهای زنده فعال است به کریستالهای فورمازان بنفش رنگ غیر قابل حل در آب تبدیل می‌شود. برای انجام MTT، محیط رویی پلیت با ۶۰ میکرولیتر محلول MTT (۵ میلی گرم در میلی لیتر) تعویض گردید.

مدت ۱۰ دقیقه رنگ شد. در مرحله بعدی کشت سلولی با آب مقطر شستشو شد. سپس ماتریکس قرمز رنگ در اسید استیک ۱۰٪ حل شد. در انتها تراکم اپتیکال محلول های حاصل در طول موج ۴۰۵ نانومتر ثبت شد و با تراکم اپتیکال غلظت های مشخص آلیزیرین رد که به همراه کیت آلیزارین رد توسط کارخانه سازنده ارائه شده بود، مقایسه گردید.

ارزیابی تمایز به چربی سلول های مورد مطالعه: در این مطالعه برای اینکه از ماهیت بنیادی مزانشیمی سلول های مورد بررسی اطمینان حاصل کنیم، پتانسیل تمایز به چربی آنها بررسی گردید. بدین ترتیب که سلولهای پاسار سوم مورد شمارش قرار گرفته و به تعداد  $10^5$  سلول در هر چاهک پلیت ۱۲ چاهکی کشت شدند بعد از اینکه بیش از ۸۰٪ کف چاهک توسط سلولها اشغال شد محیط کشت سلول با محیط تمایز آدیپوزنیک شامل DMEM حاوی ۵۰ میکروگرم در میلی لیتر اسکوربیک اسید ۳-فسفات، ۱۰۰ نانومولار دگزامتاژون و ۵۰ میکروگرم در میلی لیتر ایندوماتسین جایگزین شد (۵،۲۰). محیط کشت سلول ها هر ۳ روز یکبار تعویض شد و ۲۱ روز بعد از آغاز کشت، وقوع تمایز با رنگ آمیزی اویل رد بررسی شد. برای رنگ آمیزی اویل رد، سلولها بمدت یک ساعت در دمای اتاق با فرمالین ۴ درصد فیکس شدند و سپس با الکل ۷۰ درصد شسته شدند. آنگاه، یک میلی لیتر محلول ۰/۵ درصد اویل رد در ایزوپروپانول (Sigma, USA) بر روی سلول ها اضافه شد. پس از ۱۰-۱۵ دقیقه، محلول رنگی خارج گردید و سلول ها، سه بار با الکل ۷۰ درصد شستشو داده شدند و با میکروسکوپ مشاهده شدند.

بررسی های آماری: آزمون آماری ANOVA برای ارزیابی داده ها استفاده شد تفاوت های با  $P < 0.05$  معنی دار فرض شد. داده ها به صورت میانگین  $\pm$  انحراف از استاندارد (SD) بیان شدند.

۱۰ میکرولیتر (۲۰۰ نانومولار)، MgCl<sub>2</sub> به حجم ۳ میکرولیتر ۱/۵ میلی مولار) و آنزیم Taq DNA polymerase (Fermentas) به حجم ۲/۵ میکرولیتر و ۱۰ پیکومول از پرایمرهای ژن های اختصاصی انجام شد. پرایمر های مورد استفاده به همراه دمای Annealing هر کدام در جدول ۱ نشان داده شده است. محصول PCR درون چاهکهای ژل ریخته شد (در این مرحله، محصول PCR ژن رفرانس در گروههای مختلف به اندازه ۲ برابر رقیق شده و درون چاهکهای ژل آگارز ۱/۷٪ ریخته شد). بعد از الکتروفوروز، ژل ها با اتیدیوم بروماید رنگ آمیزی شده و تصویر آن گرفته شد. با استفاده از نرم افزار UVIBANDMAP میزان بیان ژنهای مورد نظر نسبت به ژن رفرانس ارزیابی شد. بطوریکه بیان ژن رفرانس ۱۰۰ در نظر گرفته شده و بیان ژنهای هدف بر مبنای آن محاسبه شد. برنامه PCR به شرح زیر بود:

۱- دمای denaturing ابتدایی ۹۵ در جه سانتیگراد به مدت ۴ دقیقه -۲- دمای denaturing ثانویه ۹۵ در جه سانتیگراد به مدت ۴۵ ثانیه -۳- دمای annealing مطابق جدول ۱ به مدت ۴۵ ثانیه -۴- دمای extension ۷۲ درجه ۷۲ درجه سانتیگراد به مدت ۱۰ دقیقه. مرحله ۲ تا

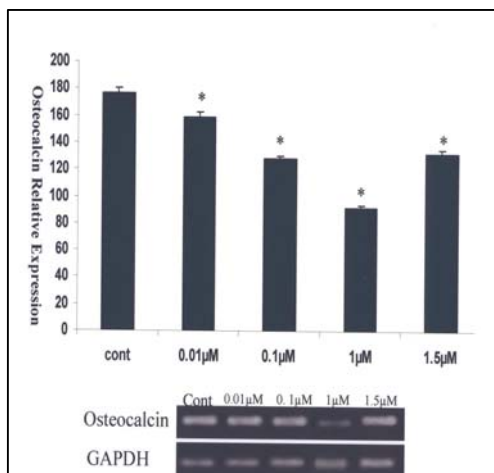
انتهای مرحله ۴ به تعداد ۳۲ سیکل تکرار شد.

اندازه گیری میزان مینرالیزاسیون کشت تمایز آلیزارین رد ماده ای است که بطور اختصاصی ماتریکس معدنی شده را رنگ می کند، بطوریکه شدت رنگ پذیری بافت با میزان مواد معدنی موجود در ماتریکس آن ارتباط مستقیم دارد. در مطالعه حاضر کشت تمایز به استخوان با کیت کمی سازی آلیزارین رد (Chemicon, USA) مورد ارزیابی قرار گرفت. نحوه کار بر اساس دستور کارخانه سازنده بود. بطور خلاصه، ابتدا کشت سلولی با فرمالین ۱۰٪ به مدت ۱۵ دقیقه فیکس شدو سپس با محلول رنگی آلیزارین رد به

جدول ۱: پرایمرهای مورد استفاده در RT-PCR

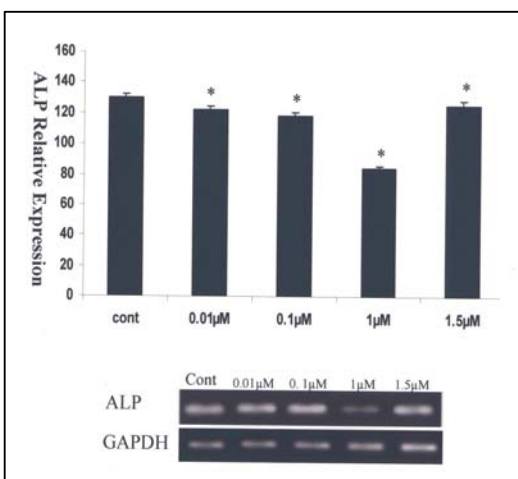
| Genes       | Primers  | Annealing Temperature (°C) | Product Size (bp) | Accession Number             |
|-------------|--|----------------------------|-------------------|------------------------------|
| ALP         | F: CGGACCCCTGCCTTACCACTCATTTGTGC<br>R: CGCACCGCATGCAACACCAGTCAGG | 72                         | 396               | J03572.1 (NCBI)              |
| osteocalcin | F: GATTATAGTGACACAGAC<br>R: AGCAGGAATACTAAGTGC                   | 56                         | 287               | ENSRNO600000019607 (ENSEMBL) |
| GAPDH       | F: TGCTGAGTATGTCGTGGAGTC<br>R: AAAGGTGGAAGAATGGGAG               | 53                         | 612               | BC059110.1 (NCBI)            |

**آنالیز RT-PCR نیمه کمی:** در همه گروههای مورد مطالعه ژن های استئوکلسین و آلکالین فسفاتاز (ALP) بیان شد. در تمام گروههای BIO این میزان بطور معنی داری کمتر از کنترل بود (شکل ۲ و ۳).



شکل ۲: بالا: نمودار مربوط به میزان بیان نسبی ژن استئوکلسین در کشت تمایز به استخوان سلول های بنیادی مزانشیمی در حضور غلظت های مختلف Bio. پایین: باندهای مربوط به

\* نشان دهنده تفاوت معنی دار گروه BIO با کنترل است ( $P<0.05$ ).



شکل ۳: بالا: نمودار مربوط به میزان بیان نسبی ژن آلکالین فسفاتاز (ALP) در کشت تمایز به استخوان سلول های بنیادی مزانشیمی در حضور غلظت های مختلف Bio. پایین: باندهای مربوط به

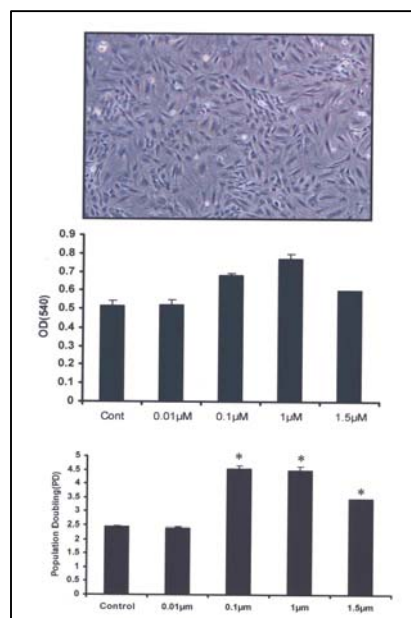
\* نشان دهنده تفاوت معنی دار گروه BIO با کنترل است ( $P<0.05$ ).

## نتایج :

**کشت سلول:** سلول های مغز استخوان در طی کشت اغلب ظاهر فیبروبلاستی داشتند و این مورفولوژی را در طی پاساژها حفظ کردند (شکل ۱، بالا).

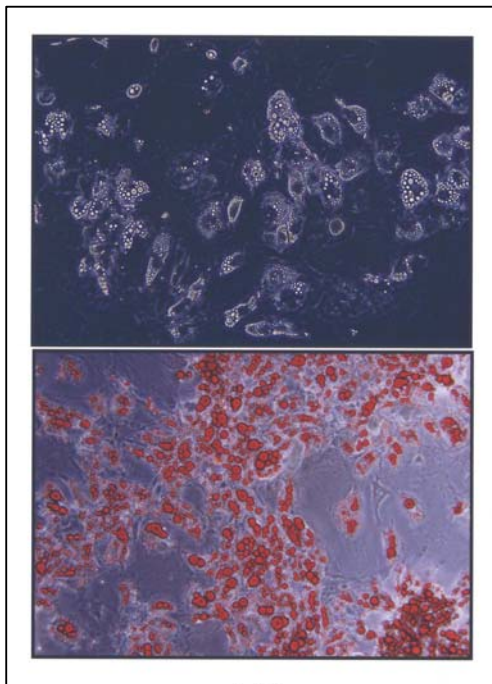
توان زیستی سلول ها در حضور BIO: بر اساس نتایج بدست آمده در غلظت های ۰/۰۱، ۰/۰۱ و ۱/۵ میکرومولار BIO سلول های بنیادی مزانشیمی زنده ماندند و رشد کردند (شکل ۱، وسط)، در حالیکه غلظت ۲ میکرومولار سبب مرگ سلولها شد.

**تکثیر سلولی:** براساس نتایج، در حضور BIO سرعت تکثیر سلولی بطور قابل توجهی افزایش یافت. بیشترین PDN مربوط به غلظتهای ۰/۰۱ و ۰/۰۱ بوده و تفاوت آنها با گروههای ۰/۰۱ و ۱/۵ میکرومولار از لحاظ آماری معنی دار بود ( $P<0.05$ ). از این نظر دو غلظت ۰/۰۱ و ۰/۰۱ در مقایسه با همدیگر تفاوت بسیار اندکی داشتند (شکل ۱، پایین). همچنین گروه ۰/۰۱ تفاوتی با گروه کنترل نداشت ولی تفاوت آن با غلظت ۱/۵ میکرومولار BIO معنی دار بود ( $P<0.05$ ).



شکل ۱: بالا: سلول های بنیادی مزانشیمی جداسده از مغز استخوان موش صحرایی عمدتاً مورفولوژی فیبروبلاستی داشتند. وسط: نمودار مربوط به MTT برای سنجش میزان توان زیستی سلولها. پایین: نمودار مربوط به میزان دو برابر شدن جمعیت سلول های بنیادی مزا نشیمی در حضور غلظت های مختلف BIO

\* نشان دهنده تفاوت معنی دار گروه BIO با کنترل است ( $P<0.05$ ).



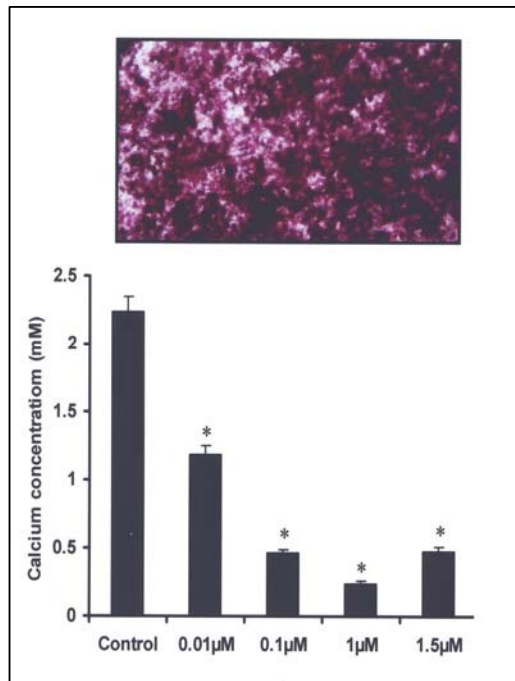
شکل ۵: کشت تمایز به چربی، ۲۱ روز پس از آغاز کشت. بالا: کشت بدون رنگ آمیزی پایین: کشت با رنگ آمیزی اویل رد. توان تمایز به رد آدیپوسیتی در کنار تمایز به استخوان حاکی از ماهیت بنیادی مزانشیمی سلول های مورد مطالعه بود.

#### بحث:

در مطالعه حاضر نقش مسیرسیگنال دهی wnt در تکثیر و تمایز به استخوان سلول های بنیادی مزانشیمی، با استفاده از BIO که با مهار GSK3 $\beta$  مسیر Wnt را فعال می سازد، مورد بررسی قرار گرفت. نتایج بدست آمده نشان داد که غلظت های ۰/۰۱ و ۰/۱ میکرومولار BIO، بطور معنی دار تکثیر سلول های بنیادی مزانشیمی مشتق از مغز استخوان موش صحرایی را تقویت می کند. همچنین یافته های ما نشان داد که در دامنه غلظتی ۰/۰۱ و ۰/۱ میکرومولار تمایز به استخوان سلول ها در کشت استئوژنیک مهار می شود. به هر حال اینکه BIO بر کشت سلول های بنیادی مزانشیمی تاثیرات میتوژنیک دارد، یافته ارزشمندی است. زیرا از این خاصیت BIO می توان در استراتژیهای سلول درمانی و مهندسی بافت استفاده کرد و با افزودن آن به محیط کشت سلول های بنیادی مزانشیمی و با تقویت تکثیر سلولی، سلول به تعداد کافی برای این فناوریهای پیشرفته تأمین نمود. در ارتباط با تاثیر BIO بر میزان تمایز استخوانی، گزارش های متفاوتی ارائه شده است. مطالعات جهش ژنی

این نتایج حاکی از تاثیرات مهاری BIO بر تمایز به استخوان سلول ها بود. در گروههای BIO غلظت ۱ میکرومولار بیشترین تاثیرات مهاری را داشت بطوریکه کمترین میزان بیان ژن های ویژه استخوانی در این گروه اتفاق افتاده بود.

میزان رسوب مواد معدنی: بر اساس نتایج بدست آمده، در کشت با BIO میزان مینرالیزاسیون بطور معنی داری کمتر از گروه کنترل بود ( $P<0.001$ ). از این نظر کمترین میزان به کشت با غلظت ۱ میکرومولار تعلق داشت و بیشترین مینرالیزاسیون در کشت با ۰/۰۱ میکرومولار مشاهده شد (شکل ۴).



شکل ۴: بالا: رنگ آمیزی آلبیزارین رد کشت استئوژنیک. پایین: نمودار مربوط به میزان کلسیم رسوب کرده در کشت استئوژنیک سلول های بنیادی مزانشیمی در حضور غلظت های مختلف Bio.

\* نشان دهنده تفاوت معنی دار گروه BIO با کنترل است ( $P<0.05$ ).

تمایز به چربی: به دنبال رنگ آمیزی اویل رد، دانه های چربی تشکیل شده در کشت تمایز به چربی قرمز رنگ شد. (شکل ۵). در مجموع توان تمایز به چربی در کنار ظرفیت تمایز به استخوان سلول ها، نشان دهنده هویت مزانشیمی سلولهای مورد مطالعه بود.

یافته های آنها مخالف است. البته باید به خاطر داشت که این پژوهشگران سلول های بنیادی مشتق از چربی انسانی را مطالعه کردند و ما از سلول های بنیادی مزانشیمی مغز استخوان موش صحرایی استفاده کردیم.

یافته های دراوید نشان داد که گلیکوپروتئین Wnt با فعال کردن مسیر  $\beta$  catenin و فعال شدن فاکتورهای نسخه برداری TCF (T Cell Factor) سبب بیان دو گروه ژنی می گردد: ۱- ژن های II IFG که سبب فعال شدن مسیر PI3K/AKT شده و بقای سلولی را افزایش می دهد ۲- ژن های سیکل سلولی از قبیل ژن Myc ، ژن سیکلین D1 و ژن MSX ۱ که نتیجه نهایی آن افزایش تکثیر است. اگرچه بیان این ژنهای در مطالعه حاضر بررسی نشد ولی تاثیرات تکثیری BIO به عنوان آگونیست سنتزی Wnt در پژوهش حاضر می تواند از طریق این مکانیسم و با بیان ژن های سیکل سلولی نامبرده ، تامین شده باشد(۲۲).

در مطالعه ای بین و همکاران با بررسی نقش مسیر Wnt بر تمایز به استخوان رده سلولی C3H10T1/2 به این نتیجه رسیدند که در سطوح پایین سیگنال دهنده ، تمایز استئوژنیک مهار شده و تکثیر استئوپروژنیتورها تحریک می شود و در سطوح بالای فعالیت این مسیر، تمایز استئوژنیک تحریک می شود(۲۳). این یافته با این اعتقاد که تمایز و تکثیر دو پدیده مخالف هم هستند هم خوانی دارد (۲۴). با توجه به یافته های تحقیق حاضر، BIO در دامنه غلظتی ۱/۵٪ میکرومولار تاثیرات تکثیری بر کشت سلول های بنیادی مزانشیمی نشان داد ولی تاثیرات آن در این دامنه غلظتی بر کشت تمایز به استخوان از نوع مهاری بود. در مطالعه حاضر به دلیل اینکه غلظت های بالای ۲ میکرومولار توکسیک بود، بررسی سطوح بالای فعالیتی مسیر Wnt با افزایش غلظت BIO میسر نشد.

اگرچه تلاش های زیادی در جهت شناسایی مارکرهای سطحی سلول های بنیادی مزانشیمی انجام شده است، با این وجود مارکر ویژه منفردی معرفی نشده است. در این ارتباط چندین مارکر از جمله LNGFR (Low STRO-1 and affinity nerve growth factor receptor) برای سلول های بنیادی مزانشیمی انسانی پیشنهاد شده است ولی برای سلول های بنیادی مزانشیمی حیوانی مارکر اختصاصی ذکر نشده است (۲۵-۲۷). به همین دلیل در مطالعات پیشین از توان تمایز سلولی برای ارزیابی ماهیت بنیادی مزانشیمی استفاده شده است (۲۸-۳۰). در

در انسان نشان داده است که بین فعال شدن Wnt و افزایش استخوان سازی ارتباط مستقیمی وجود دارد، در حالیکه زاراگوسی و همکاران عنوان کردند که BIO به عنوان فعال ساز مسیر Wnt، تمایز به استخوان سلول های بنیادی جدا شده از چربی انسان را مهار می کند (۱۹). یافته های مطالعه حاضر مبنی بر تاثیرات مهاری BIO بر تمایز به استخوان سلول های بنیادی مزانشیمی، موافق با یافته های مطالعه فوق است، ولی با مطالعه جهش های ژنی مغایرت دارد. با توجه به اینکه مطالعات جهش ژنی در محیط in vivo انجام شده ، این احتمال وجود دارد که علت تفاوت در نتایج ، تفاوت شرایط آزمایشگاهی و محیط بدن باشد. محیط بدنی ساختار پیچیده ای است که در آن سلول ها در یک محیط سه بعدی و در تعامل با یکدیگر و ماتریکس خارج سلولی قرار دارند. تحت چنین شرایطی ، مسیرهای سیگنال دهنده متعددی می تواند در یک سلول فعال شود که برآیند آنها عامل تعیین کننده تمایز سلولی است. در حالیکه در محیط آزمایشگاهی که سلول ها به صورت تک لایه کشت می شوند، اغلب تعامل های یاد شده در شرایط in vivo وجود ندارد (۲۱). زاراگوسی و همکاران با افزودن BIO به میزان ۰/۵ میکرومولار به محیط تکثیر و تمایز به استخوان سلول های بنیادی مشتق از بافت چربی انسان دریافتند که این ماده تاثیرات مهاری بر تکثیر و تمایز سلولی دارد (۱۹). این محققین به این دلیل غلظت ۰/۵ میکرومولار را انتخاب کردند که مطالعات اولیه آنها نشان داد که این غلظت سبب تجمع catenin - $\beta$  در هسته سلولی می شود در حالیکه غلظت ۱/۰ میکرومولار هیچگونه تاثیری بر تجمع catenin - $\beta$  در هسته ندارد و غلظت ۵ میکرومولار سبب مرگ سلولی می شود. در مطالعه حاضر نیز برخی غلظتهاز BIO که در مطالعات پیشین در کشت سلول های دیگر نیز استفاده شده بود، انتخاب شد (۱۷، ۱۸) و تاثیر آنها بر توان زیستی سلول ها آزمایش گردید. و غلظت هایی از آن که با زنده بودن سلول منافات داشت حذف گردید و مابقی از لحاظ اثر بر تکثیر و تمایز به استخوان سلول های بنیادی مزانشیمی مشتق از مغز استخوان موش صحرایی بررسی شد. نتایج بررسیهای ما از این نظر که BIO سبب مهار تمایز به استخوان سلول های بنیادی مزانشیمی مشتق از مغز استخوان می شود با کار زاراگوسی و همکاران مطابقت دارد ولی از نظر تاثیر بر تکثیر سلولی با

9. Little RD, Carulli JP, Del Mastro RG, Dupuis J, Osborne M, Folz C, et al. A mutation in the LDL receptor-related protein 5 gene results in the autosomal dominant high-bone-mass trait. *Am J Hum Genet.* 2002; 70:11-19.
10. Kato M, Patel MS, Levasseur R, Lobov I, Chang BH, Glass DA, et al. Cbfα1-independent decrease in osteoblast proliferation, osteopenia, and persistent embryonic eye vascularization in mice deficient in Lrp5, a Wnt coreceptor. *J Cell Biol.* 2002; 15:303-314.
11. Stefan H, Claire LK. Wnt signalling: variety at the core. *J Cell Sci.* 2007; 120: 385-393.
12. Cadigan KM, Nusse R. Wnt signaling: a common theme in animal development. *Genes Dev.* 1997; 15 :3286-3305.
13. Smalley MJ, Dale TC. Wnt signalling in mammalian development and cancer. *Cancer Metastasis Rev.* 1999;18: 215-230.
14. Meijer L, Skaltsounis AL, Magiatis P, Polychronopoulos P, Knockaert M, Leost M, et al. GSK-3-selective inhibitors derived from Tyrian purple indirubins. *Chem Biol.* 2003;10:1144-1146.
15. Atilla-Gokcumen GE, Williams DS, Bregman H, Pagano N, Meggers E. Organometallic compounds with biological activity: a very selective and highly potent cellular inhibitor for glycogen synthase kinase 3. *ChemBioChem.* 2006; 7:1443-1450.
16. Kim WY, Zhou FQ, Zhou J, Yokota Y, Wang YM, Yoshimura T, et al. Essential roles for GSK-3s and GSK-3-primed substrates in neurotrophin-induced and hippocampal axon growth. *Neuron.* 2006; 52: 981-996.
17. Sinha D, Wang Z, Ruchalski KL, Levine JS, Krishnan S, Lieberthal W, et al. Lithium activates the Wnt and phosphatidylinositol 3-kinase Akt signaling pathways to promote cell survival in the absence of soluble survival factors. *Am J Physiol Renal Physiol.* 2005; 288: F703-13.
18. Sato N, Meijer L, Skaltsounis L, Greengard P, Brivanlou AH. Maintenance of pluripotency in human and mouse embryonic stem cells through activation of Wnt signaling by a pharmacological GSK-3-specific inhibitor. *Nat Med.* 2004; 10: 10:23-24.
19. Zaragozi LE, Wdziekonski B, Fontaine C, Villageois P, Peraldi P, Dani C. Effects of GSK3 inhibitors on in vitro expansion and differentiation of human adipose-derived stem cells into adipocytes. *BMC Cell Biol.* 2008; 13: 9-11.
20. Eslaminejad MB, Nikmahzar A, Thagiyan L, Nadri S, Massumi M. Murine mesenchymal stem cells isolated by low density primary culture system. *Dev Growth Differ.* 2006; 48,361-370.
21. Freshney RA. Culture of animal cells: a manual of basic technique. 5th ed. New Jersey: John Wiley, 2005.

این تحقیق نیز با تمايز سلول های مورد بررسی به رده های استخوان و چربی ماهیت بنیادی مزانشیمی آنها به اثبات رسید.

#### **نتیجه نهایی :**

ماده BIO به عنوان آگونیست سنتزی Wnt در غلظت های بالای ۲ میکرو مولار توکسیک بوده و سبب مرگ سلولی می گردد. این ماده در دامنه غلظتی ۰/۰۱، ۰/۱ و ۱/۵ میکرومولار بر کشت سلول های بنیادی مزانشیمی مشتق از مغز استخوان موش صحرایی تاثیرات میتوژنیکی داشته و در عین حال در این غلظت ها بیان زندهای استخوانی و همچنین میترالیزاسیون کشت را مهار می نماید.

#### **منابع :**

1. Baksh D, Davis JE, Zandstra PW. Adult human bone marrow-derived mesenchymal progenitor cells are capable of adhesion-independent survival and expansion. *Exp Hematol.* 2003;31:723-732.
2. Friedenstein AJ Chailakhjan RK, Lalykina KS. The development of fibroblast colonies in monolayer cultures of guinea-pig bone marrow and spleen cells. *Cell Tissue Kinet.* 1970;3:393-403.
3. Arnhold SJ, Goletz I, Klein H, Stumpf G, Beluche LA, Rohde C, et al. Isolation and characterization of marrow derived equine mesenchymal stem cells. *Am J Vet Res.* 2007; 68 (10): 1095-1105.
4. Abdallah BM, Kassem M. Human mesenchymal stem cells: from basic biology to clinical applications. *Gene Ther.* 2007; 15 (2):109-116.
5. Khojasteh A, Eslaminejad MB, Nazarian H. Mesenchymal stem cells enhance bone regeneration in rat calvarial critical size defect more than platelet rich plasma. *Oral Surg Oral Med Oral Pathol Oral Radiol Endodont.* 2008 ; 106: 356-362.
6. Jafarian M, Eslaminejad MB, Khojasteh A, Mashhadi Abbas F, Dehgan MM, Hassanizadeh R, et al. Marrow-derived mesenchymal stem cells-directed bone regeneration in the dog mandible: A comparison between Biphasic calcium phosphate and Natural bone mineral. *Oral Surg Oral Med Oral Pathol Oral Radiol Oral Endodont.* 2008; 105: e14-e24.
7. Boyden LM, Mao J, Belsky J, Mitzner L, Farhi A, Mitnick MA, et al. High bone density due to a mutation in LDL-receptor-related protein 5. *N Engl J Med.* 2002; 16:1513-1521.
8. Gong Y, Slee RB, Fukai N, Rawadi G, Roman-Roman S, Reginato AM, et al. LDL receptor-related protein 5 (LRP5) affects bone accrual and eye development. *Cell.* 2001; 16:513-523.

22. Dravid G, Ye Z, Hammond H, Chen G, Pyle A, Donovan P et al. Defining the role of Wnt/beta-catenin signaling in the survival, proliferation, and self-renewal of human embryonic stem cells. *Stem Cells* 2005; 23: 1489-1501.
23. Bain G, Müller T, Wang X, Papkoff J. Activated beta-catenin induces osteoblast differentiation of C3H10T1/2 cells and participates in BMP2 mediated signal transduction. *Biochem Biophys Res Com* 2003; 31: 84-91.
24. Potten CS, Lajtha LG. Stem cells versus stem lines. *Ann N Y Acad Sci* 1982;10:49-61.
25. Kuçi S, Wessels JT, Bühring HJ, Schilbach K, Schumm M, Seitz G, et al. Identification of a novel class of human adherent CD34- stem cells that give rise to SCID-repopulating cells. *Blood* 2003; 3:869-876.
26. Quirici N, Soligo D, Bossolasco P, Servida F, Lumini C, Deliliers GL. Isolation of bone marrow mesenchymal stem cells by anti-nerve growth factor receptor antibodies. *Exp Hematol* 2002; 7:783-791.
27. Gronthos S, Simmons PJ. The growth factor requirements of STRO-1-positive human bone marrow stromal precursors under serum-derived condisions in vitro. *Blood* 1995; 85: 929-940.
28. Tropel P, Noel D, Platet N, Legrand P, Benabid AL, Berger F. Isolation and characterization of mesenchymal stem cells from adult mouse bone marrow. *Exp Cell Res* 2004; 295:395-406.
29. Peister A, Mellad JA, Larsen LL, Hall BM, Gibson LF, Prockop DJ. Adult stem cells from bone marrow (MSCs) isolated from different strains of inbred mice vary in surface epitopes, rates of proliferation, and differentiation potential. *Blood* 2004; 103: 1662-1668.
30. Sun S, Guo Z, Xiao X, Liu B, Liu X, Tang P-H et al. Isolation of mouse marrow mesenchymal progenitors by a novel and reliable methods. *Stem Cells* 2003; 21: 527-535.